

# АНАЛИЗ НЕСТАЦИОНАРНЫХ ПОТОКОВ ВОКРУГ ПЛОХООБТЕКАЕМЫХ ТЕЛ ПРОИЗВОЛЬНОЙ ФОРМЫ С ПОМОЩЬЮ ВЫЧИСЛИТЕЛЬНЫХ СРЕДСТВ

ЛУЦИВ Д. В., ТРУБИЦЫН Н. Ф.

Санкт-Петербургский Городской Дворец Творчества Юных, Аничков лицей  
191011, Санкт-Петербург, Невский проспект, дом 39  
тел. (812) 310-13-13, факс (812) 310-14-14, E-mail: dluciv@vision.spb.ru

*Многие задачи аэродинамики и гидродинамики связаны с анализом обтекания средой тел сложной формы. При достаточно больших числах Рейнольдса<sup>1</sup> с поверхности тела начинают отрываться вихри, которые образуют вихревую пелену, действующую на тело и изменяющую картину потока. Поэтому существует потребность в методе анализа потока вокруг тела, не требующем больших и сложных вычислений. Решение этой задачи является целью данной работы.*

## МЕТОД АНАЛИЗА ПОТОКА

За основу был взят метод<sup>2</sup>, разработанный в середине 80-х годов в Японии. Метод позволяет производить моделирование и анализ нестационарного потока вокруг тела произвольной формы. Расчет обтекания тел простой формы (плоской пластины, кругового цилиндра, прямоугольной призмы) производился методом дискретных вихрей, аппроксимирующим вихревую пелену массивом дискретных вихрей в потоке. Однако этот метод требует существенных преобразований формы тела, либо преобразований потока вокруг тела, поэтому к телам сложной формы применим тяжело.

Метод, использованный в работе, комбинирует метод дискретных вихрей с методом особенностей. Согласно методу особенностей по поверхности тела распределяются дискретные вихри. Комбинация метода дискретных вихрей с

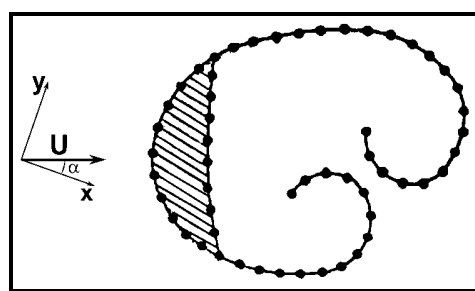


Рис. 1. Распределение вихрей на теле и в пелене

<sup>1</sup> Число Рейнольдса:  $Re = \frac{\rho V l}{\mu}$ , где  $\rho$  - плотность;  $V$  - скорость;  $l$  - линейный размер

тела;  $\mu$  - коэффициент вязкости.

<sup>2</sup> Takaji INAMURO, Takeshi ADACHI, Hiroshi SAKATA. A Numerical Analysis of Unsteady Separated Flow by Vortex Shedding Model. - Bulletin of JSME, Vol. 26, No. 222, December 1983, pp. 2106-2112.

методом особенностей заключается в том, что дискретные вихри равномерно распределены по поверхности тела, и через равные промежутки времени с каждой из точек отрыва отделяется один вихрь. Все отделенные дискретные вихри образуют вихревую пелену (рис. 1).

## МАТЕМАТИЧЕСКАЯ МОДЕЛЬ ПОТОКА

Допустим, что картина потока в любой плоскости, параллельно которой осуществляется движение, будет одинакова. В этом случае движение называется плоским. В работе был рассмотрен случай плоского потока несжимаемой невязкой жидкости, основными уравнениями для которой в прямоугольной системе координат можно считать следующие:

$$\frac{\partial^2 \Phi}{\partial x^2} + \frac{\partial^2 \Phi}{\partial y^2} = 0$$

$$\frac{p}{\rho} = f(t) - \frac{1}{2}(u^2 + v^2) + \frac{\partial \Phi}{\partial t},$$

где  $\Phi$  - потенциал скорости;  $p$  - давление;  $\rho$  - плотность;  $f(t)$  - произвольная функция времени  $t$ ;  $u$  и  $v$  - составляющие скорости по осям  $x$  и  $y$  соответственно.

В данной задаче поток в бесконечно удаленной от тела точке стационарен, поэтому функция  $f(t) = const$  и вычисляется следующим образом:

$$f(t) = \frac{p_\infty}{\rho} + \frac{1}{2}(U_\infty^2 + V_\infty^2)$$

где  $U_\infty$  и  $V_\infty$  - проекции скорости потока в бесконечно удаленной от тела точке на оси  $X$  и  $Y$  соответственно;  $\rho$  - плотность среды;  $p_\infty$  - давление в бесконечно удаленной от тела точке.

В описываемом методе потенциал скорости в точке потока представлен суперпозицией потенциала скорости невозмущенного потока и потенциалов скоростей, индуцируемых вихрями :

$$\Phi = \Phi_u + \sum_{j=1}^M \Phi_{vj} + \sum_{i=1}^L \sum_{k=1}^N \Phi_{wik}$$

Потенциал скорости невозмущенного потока:

$$\Phi_u = U_\infty \cdot x + V_\infty \cdot y$$

Потенциал скорости, индуцируемой отдельным вихрем :

$$\Phi_v = -\frac{\Gamma}{2\pi} \operatorname{arctg} \frac{\Delta y}{\Delta x}$$

Таким образом, общий потенциал скорости получим:

$$\Phi = U \cos \alpha \cdot x + U \sin \alpha \cdot y - \sum_{j=1}^M \frac{\Gamma_j}{2\pi} \operatorname{arctg} \frac{y - y_j}{x - x_j} - \sum_{i=1}^L \sum_{k=1}^N \frac{\Gamma_{wik}}{2\pi} \operatorname{arctg} \frac{y - y_{wik}}{x - x_{wik}},$$

где  $U$  - скорость однородного потока;  $\alpha$  - угол атаки;  $\Gamma_l$  ( $l=j, wik$ ) - циркуляция вихря в позиции  $(x_l; y_l)$ .

Условия непротекания среды сквозь поверхность (поток не проникает внутрь тела) выражаются:

$$\left. \frac{\partial \Phi}{\partial n} \right|_{\sigma} = 0 \quad (= V_n),$$

где  $V_n$  — нормальная к поверхности тела составляющая скорости потока.

Тело произвольной формы в работе аппроксимировано ломаной, по вершинам и отрезкам которой равномерно распределены дискретные вихри. В первом приближении будем считать, что вихри пелены, отделяемые с течением времени с точек отрыва на поверхности тела, сохраняют значения циркуляций, имевшиеся в момент отделения в точках отрыва.

Для данного представления тела граничные условия  $\left. \frac{\partial \Phi}{\partial n} \right|_{\sigma} = 0$  могут быть записаны:

$$u \sin \beta + v \cos \beta = 0$$

где  $\beta$  - угол между положительным направлением оси абсцисс и данным участком ломаной (поверхности тела), на котором обеспечивается условие непротекания (считая всегда против часовой стрелки от оси абсцисс).

Составляющие скорости  $u$  и  $v$  получаются из значения потенциала скорости:

$$u = \frac{\partial \Phi}{\partial x}, \quad v = \frac{\partial \Phi}{\partial y}$$

Проведя дифференцирование и подставив результат в граничные условия для каждой из контрольных точек, взятых на поверхности тела посередине между соседними вихрями, получаем систему линейных уравнений:

$$U \cos \alpha \sin \beta + \frac{\sin \beta}{2\pi} \sum_{j=1}^M \Gamma_j \frac{y - y_j}{(x - x_j)^2 + (y - y_j)^2} + \frac{\sin \beta}{2\pi} \sum_{i=1}^L \sum_{k=1}^N \Gamma_{ik} \frac{y - y_{ik}}{(x - x_{ik})^2 + (y - y_{ik})^2} +$$

$$+ U \sin \alpha \cos \beta - \frac{\cos \beta}{2\pi} \sum_{j=1}^M \Gamma_j \frac{x - x_j}{(x - x_j)^2 + (y - y_j)^2} - \frac{\cos \beta}{2\pi} \sum_{i=1}^L \sum_{k=1}^N \Gamma_{ik} \frac{x - x_{ik}}{(x - x_{ik})^2 + (y - y_{ik})^2} = 0$$

и после преобразования:

$$\sum_{j=1}^M \left( \frac{(y - y_j) \sin \beta - (x - x_j) \cos \beta}{(x - x_j)^2 + (y - y_j)^2} \Gamma_j \right) + 2\pi U (\sin \alpha \cdot \cos \beta + \cos \alpha \cdot \sin \beta) +$$

$$+ \sum_{i=1}^L \sum_{k=1}^N \Gamma_{ik} \frac{(y - y_{ik}) \sin \beta - (x - x_{ik}) \cos \beta}{(x - x_{ik})^2 + (y - y_{ik})^2} = 0$$

В этой системе, благодаря известным форме тела, углу атаки, скорости невозмущенного потока, неизвестными остаются только циркуляции вихрей на поверхности тела. Число контрольных точек равно числу вихрей, столько же уравнений — в системе. Уравнение для одной из контрольных точек, мало влияющих на поток (например, в середине задней поверхности тела), заменяется на уравнение:

$$\sum_{j=1}^M \Gamma_j + \sum_{i=1}^L \sum_{k=1}^N \Gamma_{wik} = 0,$$

которое получается из теоремы Кельвина. Эта система линейных уравнений решается относительно значений циркуляций.

## МОДЕЛЬ ВИХРЕВОЙ ПЕЛЕНЫ

Далее моделируется отрыв вихрей с поверхности тела. По скорости в точке отрыва в данный момент времени и промежутку времени  $\Delta t$  (периоду отрыва вихрей) вычисляется смещение нового вихря пелены относительно точки его отрыва (положение последней считается известной). Остальные вихри пелены

так же сдвигаются в соответствии со скоростями в тех точках потока, где они расположены.

$$\begin{cases} x_{wk}(t + \Delta t) = x_{wk}(t) + u_{wk}(t)\Delta t \\ y_{wk}(t + \Delta t) = y_{wk}(t) + v_{wk}(t)\Delta t \end{cases},$$

где  $(x_{wk}, y_{wk})$  - позиция k-того вихря,  $u_{wk}, v_{wk}$  - составляющие скорости вихря. Скорость вызвана всеми вихрями, за исключением самого k-того и получена:

$$\begin{cases} u_{wk} = \frac{\partial}{\partial x} \left( \Phi + \frac{\Gamma_{wk}}{2\pi} \operatorname{arctg} \frac{y - y_{wk}}{x - x_{wk}} \right) \\ v_{wk} = \frac{\partial}{\partial y} \left( \Phi + \frac{\Gamma_{wk}}{2\pi} \operatorname{arctg} \frac{y - y_{wk}}{x - x_{wk}} \right) \end{cases}$$

Индукцируемая вихрем скорость обратно пропорциональна расстоянию от его центра, поэтому в точках, близких к его центру, скорость может быть настолько велика, что она затруднит машинную реализацию вычислений. По этой причине введена величина  $\sigma = 2.24\sqrt{\nu t^*}$  (где  $\nu$  - кинематическая вязкость,  $t^*$  - время, прошедшее с момента отрыва вихря с точки отделения), ниже которой не может опускаться расстояние от данной точки до центра вихря, то есть:

$$v_0 = \begin{cases} \frac{1}{2\pi r} \Gamma \dots\dots\dots (r \geq \sigma) \\ \frac{1}{2\pi \sigma} \Gamma \dots\dots\dots (r < \sigma) \end{cases},$$

где  $v_0$  - модуль скорости, индуцируемой вихрем.

## СИЛА, ДЕЙСТВУЮЩАЯ НА ТЕЛО

Сила, действующая на тело, представлена интегралом напряжения по поверхности тела:

$$\vec{F} = - \int_{\sigma} P_s \vec{n}_s dS$$

и численно считается равной

$$\vec{F} = -\sum_{j=1}^K P_j S_j \vec{n}_j,$$

где  $j$  - номер отрезка ломаной между вихрями,  $K$  - количество отрезков (оно же - количество вихрей на поверхности тела),  $\vec{n}_j$  - нормальный к поверхности тела единичный вектор, направленный наружу,  $P_j$  - среднее напряжение на данном отрезке,  $S_j$  - площадь поверхности, соответствующая данному отрезку. Средним напряжением на отрезке считается давление в контрольной точке, ему принадлежащей. Площадь поверхности, соответствующая отрезку, численно равна длине отрезка, т.к. рассматривается плоское движение и толщина рассматриваемого слоя потока принимается за линейную единицу. Таким образом, результирующая сила рассчитывается как векторная сумма сил, действующих на площадки, соответствующие отдельным отрезкам, аппроксимирующим поверхность тела.

## АЛГОРИТМ ВЫЧИСЛЕНИЙ

Алгоритм вычислений представлен на рис. 2. В расчетах принято допущение, что поток резко стартует с состояния покоя. В момент времени  $t=0$  вихри расположены только на поверхности тела. По граничным условиям и дополнительному условию, иллюстрирующему теорему Кельвина, производится расчет циркуляций на теле. Далее обеспечивается расчет скорости и потенциала скорости в любой точке потока. По известным величинам скоростей и потенциалов скоростей рассчитываются давления и сила, действующая на тело. Расчет давлений и силы возможен для любого шага, кроме первого. Это связано с тем, что для вычисления величины  $\frac{\partial \Phi}{\partial t}$  необходимо иметь значение  $\Phi$  по крайней мере для двух моментов времени. Потом по известным скоростям производится пересчет положений всех вихрей для каждой точки отрыва. Процесс вычислений повторяется до момента времени, соответствующего условию  $t \geq t_{\max}$ .

## ПРОГРАММНАЯ РЕАЛИЗАЦИЯ

Метод, взятый за основу в работе, в силу некоторых особенностей (например, необходимость решения большой системы линейных уравнений, ввод величины  $\sigma$ , заменяющей  $r$  при его малых значениях, аппроксимация моделируемых объектов их дискретными компонентами) хорошо реализуется на компьютере. В наше время это может быть персональный компьютер средней мощности (например, IBM PC). Программа, реализующая анализ потока вокруг тела описанным методом и представленная в работе, работает

под управлением MS-DOS и совместимых с ней операционных систем. Реализована программа на языке C++ с незначительными вставками на ассемблере, связанными с интерфейсом пользователя. Разработана программа в среде BORLAND C++ 3.1

Некоторые аспекты метода, допускающие свободу действий, в программе реализованы жестко. Например, контрольные точки берутся точно посередине между вихрями, давления на теле вычисляются в контрольных точках.

Производная потенциала скорости по времени представляется конечной разностью. Опыт разработки программы и сравнение результатов ее работы с экспериментальными данными показал целесообразность подобных особенностей ее реализации.

Программа состоит из достаточно большого количества блоков, каждый из которых может быть доработан отдельно. Например, в отдельный блок вынесено решение системы уравнений методом Гаусса, что позволяет в случае необходимости быстро воспользоваться другим методом, если последний отдельно реализован. Легко может быть заменен или отключен блок диалога с пользователем и вывода графической информации. При компиляции программы под другую более развитую, чем MS-DOS, операционную систему незначительные коррективы в ее тексте могут позволить существенно поднять количество шагов моделирования, а значит, повысить точность и моделируемое время при анализе потока и даже обрабатывать несколько моделей параллельно в пределах одной задачи операционной системы. Но это может потребовать корректив в блоках графики и диалога с пользователем.

Программа позволяет в реальном времени производить интерактивный анализ и моделирование нестационарного плоского потока вокруг тела произвольной формы, выводить наглядно данные в графическом виде (например, линии тока, эквипотенциальные поверхности, эпюры скоростей, давлений и т.д.) и в числовом — в файл отчета. Последний может быть полезен при сопоставлении результатов, например, с экспериментальными данными. В связи с реализацией производной потенциала скорости по времени на первом шаге давления на теле и в потоке, а следовательно и сила, действующая на тело, не могут быть вычислены. Вся остальная информация об обтекании тела известна с первого шага.

Данные о форме тела, точках отрыва и характеристиках потока, а также некоторые другие служебные данные программа получает из входного файла. Входной файл может быть сформирован в любом текстовом редакторе, но для удобства и наглядности была написана дополнительная программа составления входного файла, позволяющая легко и наглядно описать поток и тело сложной формы.

При помощи написанной программы было выполнено моделирование потока вокруг тел различной формы для нескольких скоростей и углов атаки. Возможности, предоставляемые программой, и полученные на различных шагах моделирования результаты представлены на рис. 3 — 12. Результаты

работы программы достаточно хорошо согласуются с экспериментальными данными.

Общие результаты работы могут быть полезны при решении некоторых реальных аэродинамических и гидродинамических задач.

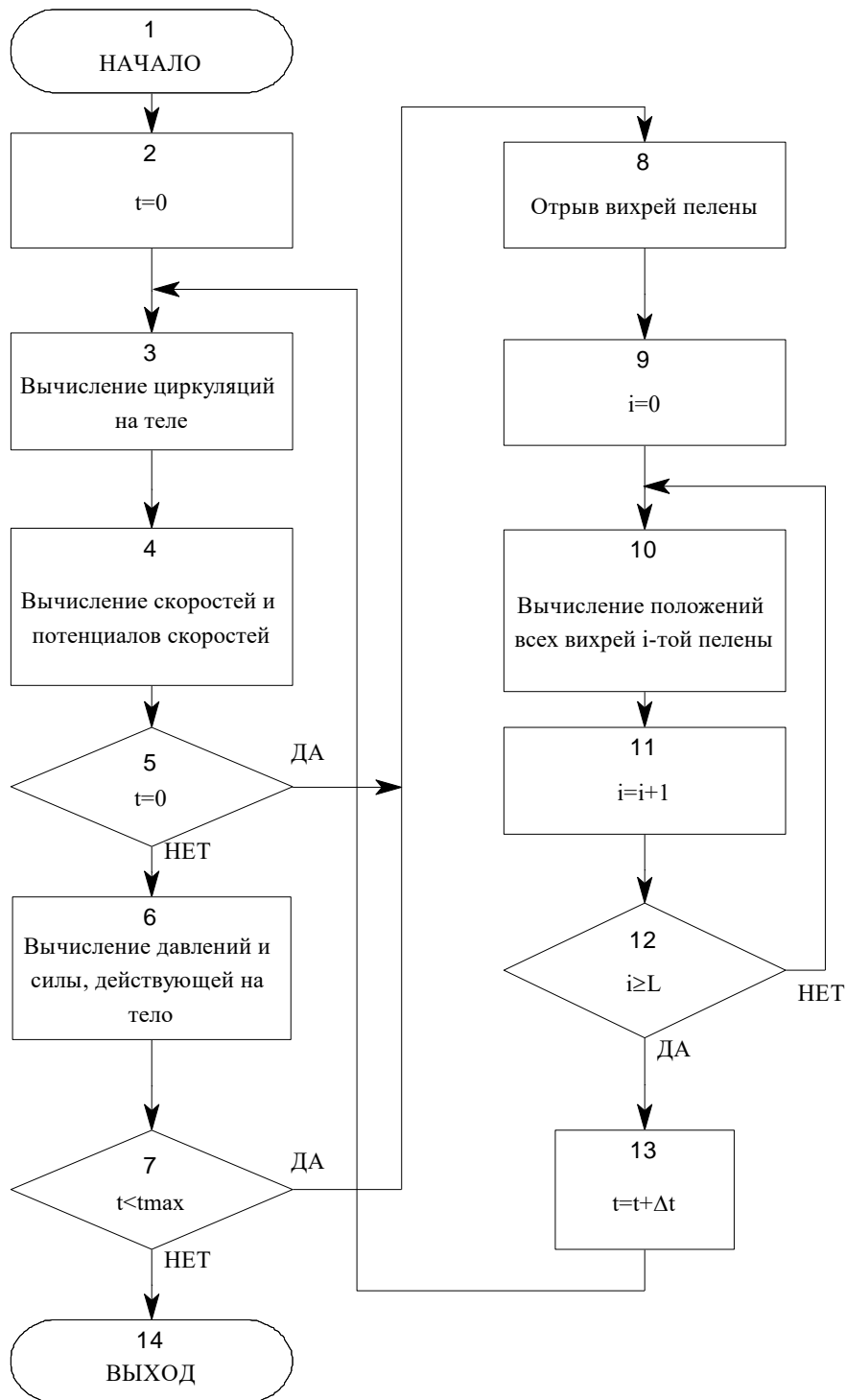


Рис.2 Алгоритм вычислений



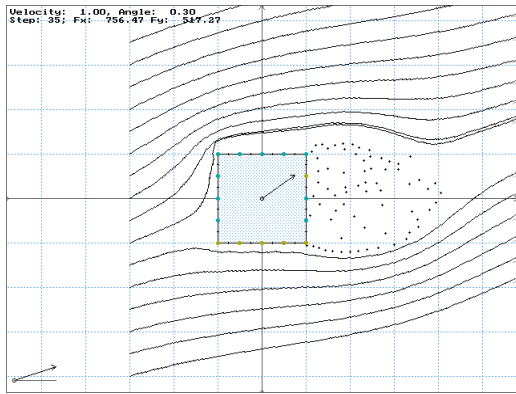


Рис. 3. Вихревая пелена, линии скорости и сила, действующая на тело

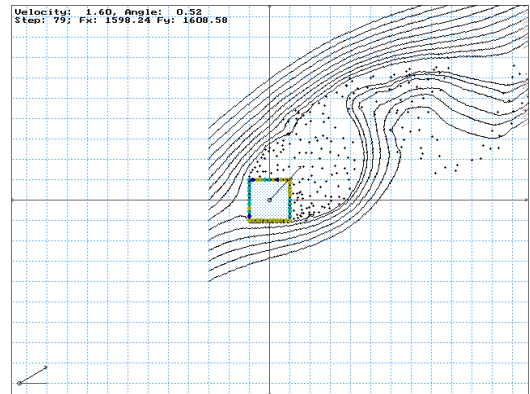


Рис. 4. Вихревая пелена, линии скорости и сила, действующая на прямоугольную призму, при угле атаки 30°

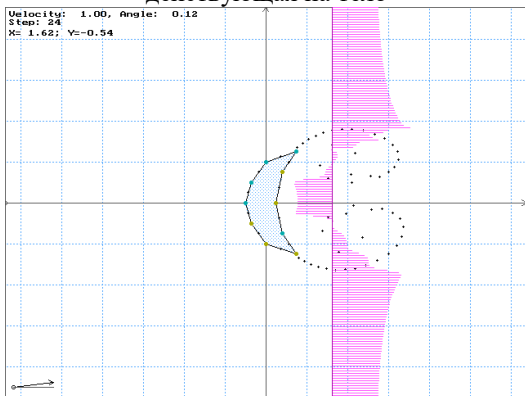


Рис. 5. Горизонтальная эпюра скоростей в области образования пелены

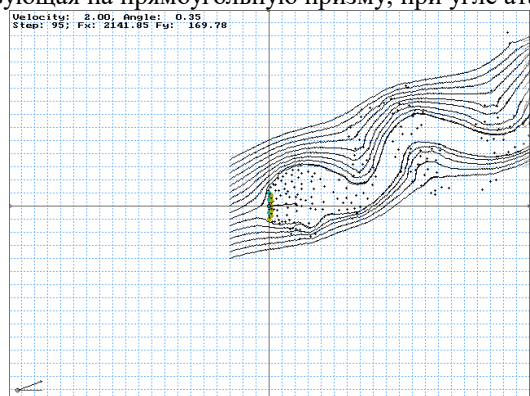


Рис. 6. Вихревая пелена, линии скорости и сила, действующая на плоскую пластину, при угле атаки 20°

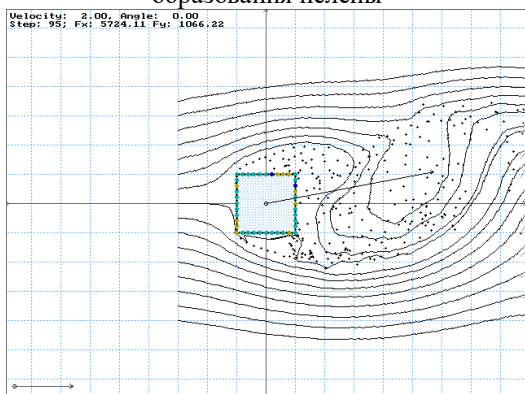


Рис. 7. Вихревая пелена, линии скорости и сила, действующая на прямоугольную призму, при угле атаки 0°

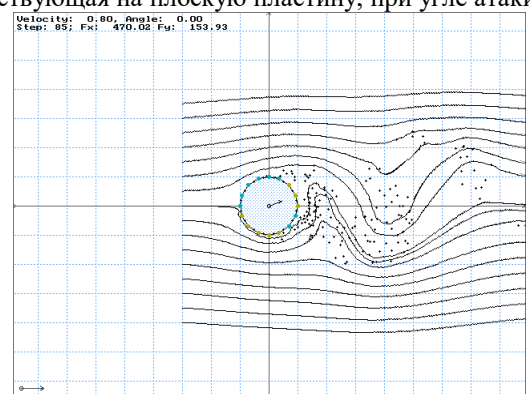


Рис. 8. Вихревая пелена, линии скорости и сила, действующая на круговой цилиндр, при скорости потока 0,8 м/с

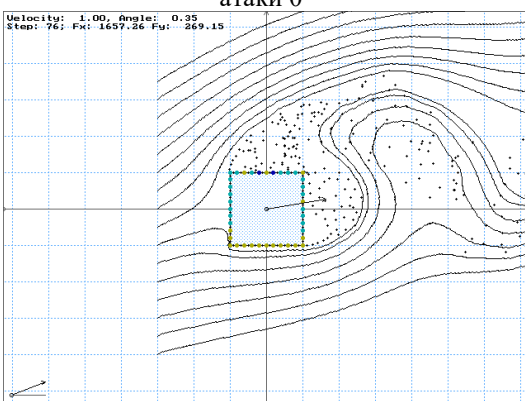


Рис. 9. Вихревая пелена, линии скорости и сила, действующая на прямоугольную призму, при угле атаки 20°

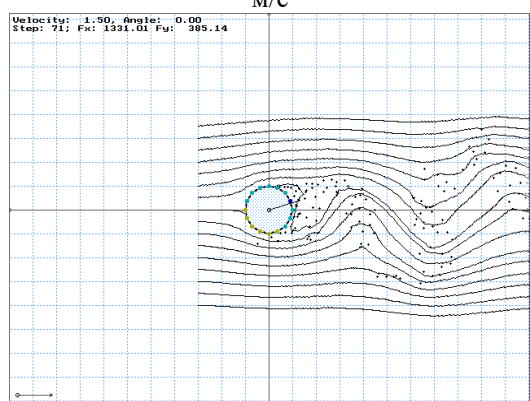


Рис. 10. Вихревая пелена, линии скорости и сила, действующая на круговой цилиндр, при скорости потока 1,5 м/с

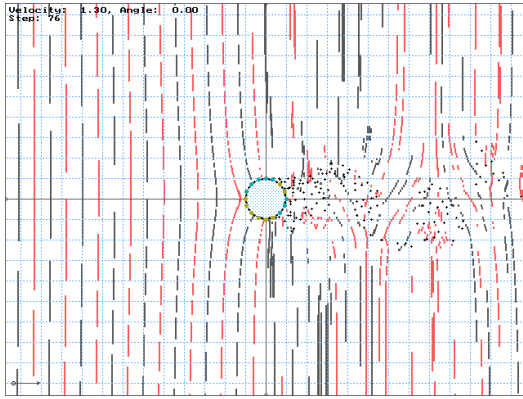


Рис. 11. Расположение эквипотенциальных линий при обтекании кругового цилиндра, вихревая цепочка Кармана

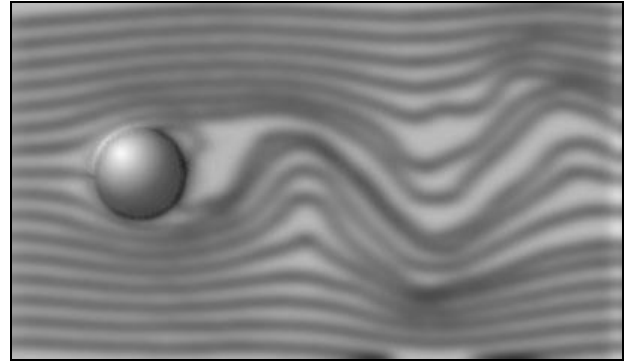


Рис. 12. Картина потока вокруг тела, созданная на базе изображения линий скорости, полученного программой

## ЛИТЕРАТУРА

1. Inamuro T., Adachi T., Sakata H. A Numerical Analysis of Unsteady Separated Flow by Vortex Shedding Model - Bulletin of JSME, Vol. 26, No 222, pp. 2106-2112, 1983.
2. Miyamoto T., Hashiguchi M. Numerical Simulation of Separated Flow by Discrete Vortex Method, Boundary Elements VIII Conference, v.2, pp. 859-868, 1986.
3. Александров В.Л. Техническая гидромеханика. — М.: ОГИЗ, 1946.
4. Вилля Г. Теория Вихрей. — М.: ОНТИ, 1936.
5. Демидович Б.П., Марон И.А. Основы вычислительной математики. — М.: Наука, 1970.
6. Кочин Н.Е., Кибель И.А., Розе Н.В. Теоретическая гидромеханика. ч.1. — М.: ОГИЗ, 1948.
7. Носач В.В. Решение задач аппроксимации с помощью персональных компьютеров. — М.: «Микап», 1992.
8. Роуч П. Вычислительная гидродинамика. — М.: Мир, 1980.
9. Флетчер К. Вычислительные методы в динамике жидкостей. т.1 — М.: Мир, 1991.